

В. М. Чернышев, В. А. Ракитов, В. А. Таранушич,
З. А. Старикова^а

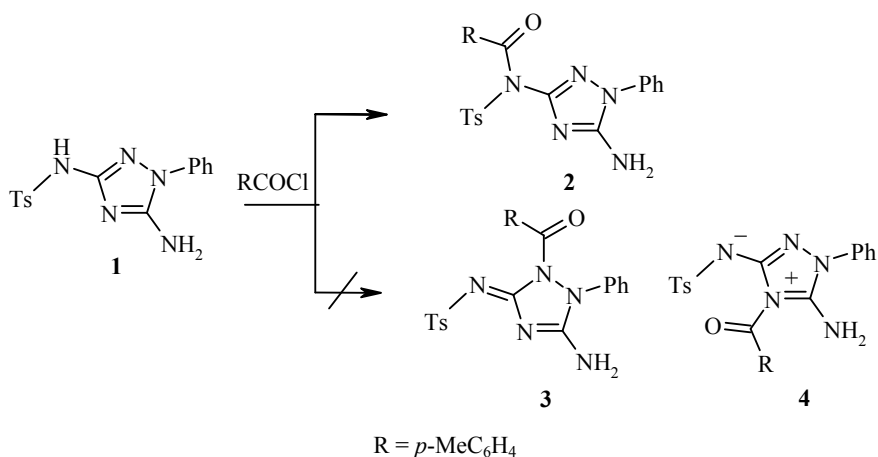
МОЛЕКУЛЯРНАЯ И КРИСТАЛЛИЧЕСКАЯ СТРУКТУРА
5-АМИНО-3-(*N*-*n*-МЕТИЛБЕНЗОИЛ-*N*-*n*-ТОЛУОЛСУЛЬФОНИЛ)АМИНО-
1-ФЕНИЛ-1,2,4-ТРИАЗОЛА

Методом РСА установлено, что первичным продуктом взаимодействия 5-амино-3-*n*-толуолсульфониламино-1-фенил-1,2,4-триазола с *n*-метилбензоилхлоридом является 5-амино-3-(*N*-*n*-метилбензоил-*N*-*n*-толуолсульфонил)амино-1-фенил-1,2,4-триазол.

Ключевые слова: amino- и 3,5-диамино-1,2,4-триазол, 5-амино-3-(*N*-*n*-метилбензоил-*N*-*n*-толуолсульфонил)амино-1-фенил-1,2,4-триазол, 1,2,4-триазол, ацилирование, РСА.

3,5-Диамино-1-*R*-1,2,4-триазолы входят в состав лекарственных препаратов [1] и применяются для получения веществ, обладающих широким спектром биологической активности [2, 3]. При ацилировании 5-амино-3-*n*-толуолсульфониламино-1-фенил-1,2,4-триазола (**1**) *n*-метилбензоилхлоридом в ацетонитриле в присутствии пиридина было получено соединение, которому на основании данных элементного анализа, ИК и ЯМР спектроскопии было приписано строение 5-амино-3-(*N*-*n*-метилбензоил-*N*-*n*-толуолсульфонил)амино-1-фенил-1,2,4-триазола (**2**) [4]. Однако приводимые в работе [4] спектральные данные не позволяют полностью исключить возможность изомерного строения этого соединения, например, структуры **3** и **4**.

Поскольку строение полученного соединения позволяет понять особенности реакций ацилирования 5-амино-3-ациламино- и 5-амино-3-сульфониламино-1-*R*-1,2,4-триазолов [4], нами проведен его РСА.



По данным РСА (рис. 1, 2, табл. 1, 2) молекула соединения **2** имеет неплоское строение: фенильная группа образует с плоскостью триазольного кольца двугранный угол 29.4° , а бензольные кольца *n*-метилбензоильной и *n*-толуолсульфонильной групп наклонены к триазольному циклу на 50.1 и 28.6° соответственно.

Длины связей в триазольном цикле согласуются с соответствующими величинами ранее изученных замещенных триазолов [3, 5–11]. Атомы $N_{(4)}$ и $N_{(5)}$ имеют тригонально-пирамидальную конфигурацию (сумма валентных углов 336.2 и 350.5° соответственно). Отклонение атома $N_{(4)}$ от плоскости триазольного цикла составляет всего $0.014(3)$ Å, тогда как атом $N_{(5)}$ отклоняется на $0.091(3)$ Å, по-видимому, вследствие сокращенного внутримолекулярного контакта $C_{(2)}\cdots C_{(9)}$ 3.05 Å и укороченных контактов $N_{(1)}\cdots C_{(9)}$ 3.18 , $N_{(3)}\cdots C_{(4)}$ 3.19 Å.

Длина связи $C_{(1)}-N_{(4)}$ ($1.360(2)$ Å) согласуется с соответствующими величинами в других 5-амино-1,2,4-триазолах ($1.347-1.371$ Å [5–7]). Связь $C_{(2)}-N_{(5)}$ ($1.423(2)$ Å) удлинена по сравнению с 3-амино-1,2,4-триазолами, в которых она составляет $1.370-1.376$ Å [3, 9–11], и наиболее близка к аналогичной связи в 1-(1-метил-5-морфолино-1,2,4-триазол-3-ил)-3-фенил-2-тиоксоимидазолидин-4,5-дионе (1.429 Å) [8], в котором 3-аминогруппа 1,2,4-триазола включена в имидазолидиновый цикл.

Система атомов, образованная карбонильной группой, атомом $N_{(5)}$ и сульфонильной группой ($O_{(3)}-C_{(3)}-N_{(5)}-S_{(1)}-O_{(1)}-O_{(2)}$), близка по геометрическим параметрам к соответствующему сегменту в *N*-толил-*N*-тозил-*n*-хлорбензамиде [12]. Длина связи $C_{(3)}-N_{(5)}$ $1.429(2)$, $S_{(1)}-N_{(5)}$ $1.706(1)$ Å (1.418 и 1.704 Å соответственно [12]), углы $O_{(3)}C_{(3)}N_{(5)}$ $121.2(2)$, $C_{(3)}N_{(5)}S_{(1)}$ $119.1(1)$, $O_{(1)}S_{(1)}N_{(5)}$ $106.16(7)$, $O_{(1)}S_{(1)}O_{(2)}$ $120.77(8)^\circ$ (121.3 , 118.4 , 107.1 , 119.5° [12]), карбонильная группа почти копланарна связи $S_{(1)}-O_{(2)}$, фрагмент $O_{(3)}C_{(3)}N_{(5)}S_{(1)}O_{(2)}$ плоский в пределах ± 0.02 Å, псевдоторсионный угол $O_{(3)}C_{(3)}S_{(1)}O_{(2)}$ 174.9° (178.4° [12]). Следует заметить, что в соединении **2** длина связи $N_{(5)}-S_{(1)}$ больше связи, характерной для *N*-тозил-*N*-ациламино-фрагментов ($1.60-1.64$ Å) [13]. Такая же длина связи $S-N$ найдена еще только в двух молекулах, содержащих обсуждаемый фрагмент [14, 15].

В кристалле молекулы объединены в centrosymmetricные *N*-димеры (рис. 2) посредством водородной связи $N_{(3)}\cdots H_{(1NA)}-N_{(4A)}$ (параметры водородной связи: длины $N_{(3)}\cdots N_{(4A)}$ $3.016(2)$, $N_{(3)}\cdots H_{(1NA)}$ 2.14 Å, угол $N_{(3)}\cdots H_{(1NA)}-N_{(4A)}$ 171°). Кроме того, в димере наблюдается вторичное взаимодействие неподеленной пары атома $N_{(4)}$ и π -системы цикла $C_{(11A)}-C_{(16A)}$ и, соответственно, атома $N_{(4A)}$ и π -системы цикла $C_{(11)}-C_{(16)}$, расстояние $N_{(4)}\cdots$ центрoид ($C_{(11A)}-C_{(16A)}$) равно 3.284 Å.

Таким образом, данные РСА подтверждают предполагаемую направленность реакции ацилирования 5-амино-3-ациламино- и 5-амино-3-сульфонамино-1-*R*-1,2,4-триазолов [4]. Ацилированию первоначально подвергается замещенная 3-аминогруппа с образованием 5-амино-3-(*N,N*-диацил)амино- или 5-амино-3-(*N*-ацил-*N*-сульфонил)амино-1-*R*-1,2,4-триазолов, которые затем перегруппировываются в термодинамически более стабильные 3,5-диациламино- или 3-сульфонамино-5-ациламино-1-*R*-1,2,4-триазолы.

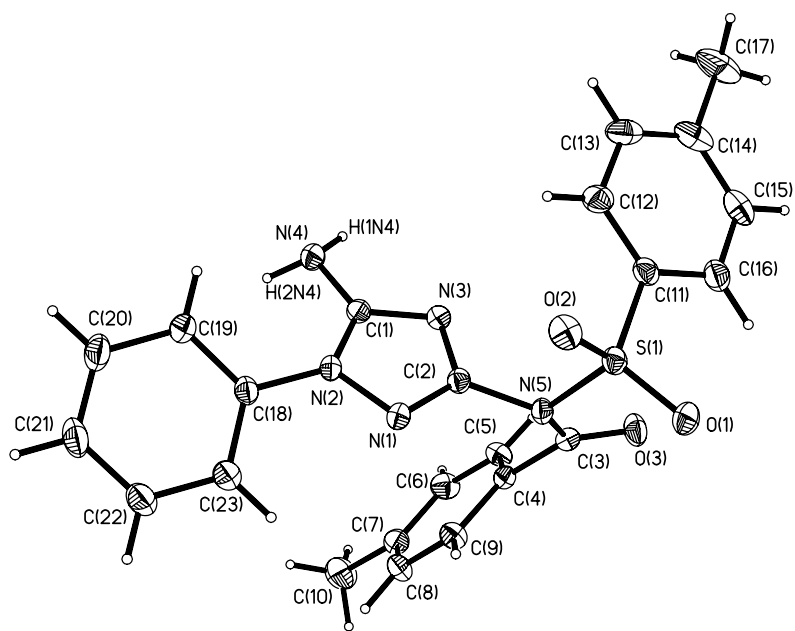


Рис. 1. Строение молекулы соединения 2

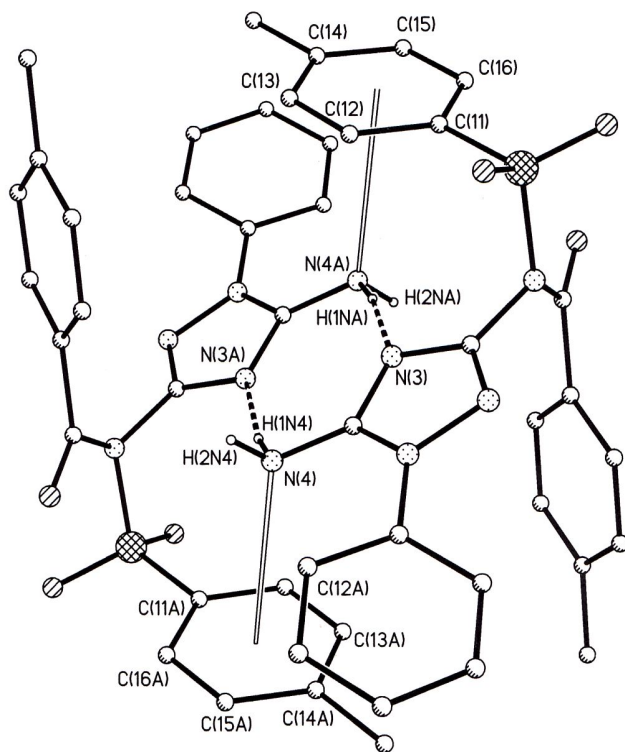


Рис. 2. Система межмолекулярных водородных связей в кристалле соединения 2

Т а б л и ц а 1

Некоторые длины связей (d) в соединении 2

Связь	d , Å	Связь	d , Å
N ₍₁₎ –C ₍₂₎	1.301(2)	N ₍₅₎ –C ₍₃₎	1.429(2)
N ₍₁₎ –N ₍₂₎	1.388(2)	O ₍₃₎ –C ₍₃₎	1.208(2)
N ₍₂₎ –C ₍₁₎	1.366(2)	S ₍₁₎ –N ₍₅₎	1.706(1)
N ₍₃₎ –C ₍₁₎	1.328(2)	S ₍₁₎ –O ₍₁₎	1.426(1)
N ₍₃₎ –C ₍₂₎	1.357(2)	S ₍₁₎ –O ₍₂₎	1.428(1)
N ₍₄₎ –C ₍₁₎	1.360(2)	S ₍₁₎ –C ₍₁₁₎	1.757(2)
N ₍₅₎ –C ₍₂₎	1.423(2)	C ₍₃₎ –C ₍₄₎	1.490(2)
N ₍₂₎ –C ₍₁₈₎	1.424(2)		

Т а б л и ц а 2

Некоторые валентные углы (ω) в соединении 2

Угол	ω , град.	Угол	ω , град.
C ₍₂₎ N ₍₁₎ N ₍₂₎	101.1(1)	H _(1N4) N ₍₄₎ H _(2N4)	115.6
C ₍₁₎ N ₍₂₎ N ₍₁₎	109.3(1)	C ₍₂₎ N ₍₅₎ C ₍₃₎	115.7(1)
C ₍₁₎ N ₍₃₎ C ₍₂₎	102.2(1)	C ₍₂₎ N ₍₅₎ S ₍₁₎	115.7(1)
N ₍₁₎ C ₍₂₎ N ₍₃₎	117.7(1)	C ₍₃₎ N ₍₅₎ S ₍₁₎	119.1(1)
N ₍₃₎ C ₍₁₎ N ₍₂₎	109.8(1)	O ₍₃₎ C ₍₃₎ N ₍₅₎	121.2(2)
C ₍₁₎ N ₍₂₎ C ₍₁₈₎	130.4(1)	O ₍₃₎ C ₍₃₎ C ₍₄₎	123.9(2)
N ₍₁₎ N ₍₂₎ C ₍₁₈₎	119.9(1)	N ₍₅₎ C ₍₃₎ C ₍₄₎	115.0(1)
N ₍₁₎ C ₍₂₎ N ₍₅₎	122.9(1)	O ₍₁₎ S ₍₁₎ O ₍₂₎	120.77(8)
N ₍₃₎ C ₍₂₎ N ₍₅₎	119.3(1)	O ₍₁₎ S ₍₁₎ N ₍₅₎	106.16(7)
N ₍₃₎ C ₍₁₎ N ₍₄₎	124.0(2)	O ₍₂₎ S ₍₁₎ N ₍₅₎	103.92(7)
N ₍₄₎ C ₍₁₎ N ₍₂₎	126.2(1)	O ₍₁₎ S ₍₁₎ C ₍₁₁₎	109.73(8)
C ₍₁₎ N ₍₄₎ H _(1N4)	108.9	O ₍₂₎ S ₍₁₎ C ₍₁₁₎	108.09(8)
C ₍₁₎ N ₍₄₎ H _(2N4)	111.6	N ₍₅₎ S ₍₁₎ C ₍₁₁₎	107.30(7)

ЭКСПЕРИМЕНТАЛЬНАЯ ЧАСТЬ

Рентгеноструктурное исследование. Бесцветные призматические кристаллы соединения 2, полученные из смеси ДМФА–EtOH, 1:1, моноклинные, C₂₃H₂₁N₅O₃S, при 120 К: $a = 8.1186(6)$, $b = 18.204(1)$, $c = 14.666(1)$ Å, $\beta = 94.203(2)^\circ$, $V = 2161.7(3)$ Å³, $M_r = 447.51$, $Z = 4$, пространственная группа $P2_1/c$, $d_{\text{выч}} = 1.375$ г/см³. Экспериментальный набор 13 461 отражения получен на дифрактометре Bruker SMART CCD area detector при 120 К (λ MoK α -излучение, $2\theta_{\text{max}} = 54.00^\circ$) с монокристалла размером 0.50×0.40×0.35 мм. После усреднения эквивалентных отражений получено 5814 независимых отражений ($R_{\text{int}} = 0.0448$), которые использованы для расшифровки и уточнения структуры. Поглощение ($\mu = 0.186$ мм⁻¹) не учитывалось.

Структура решена прямым методом, все неводородные атомы локализованы в

разностных синтезах электронной плотности и уточнены по F^2_{hkl} в анизотропном приближении. Атомы водорода группы NH_2 локализованы в разностных синтезах электронной плотности и уточнены в изотропном приближении riding model; атомы водорода H(C) помещены в геометрически рассчитанные позиции и учтены при уточнении в модели "наездника" с $U(\text{H}) = nU(\text{C})$, где $n = 1.2$ и 1.5 для групп CH и CH_3 , соответственно, $U(\text{C})$ – эквивалентный температурный фактор атома углерода, с которым связан соответствующий атом H.

Окончательное значение факторов недоверности: $R_1 = 0.0436$ (вычислен по F_{hkl} для 3766 отражений с $I > 2\sigma(I)$), $wR_2 = 0.1016$ (вычислен по F^2_{hkl} для всех 4534 отражений), $\text{GOOF} = 1.004$, 289 уточняемых параметра.

Все расчеты проведены по комплексу программ SHELXTL PLUS 5 [16].

СПИСОК ЛИТЕРАТУРЫ

1. В. Г. Граник, Н. Б. Григорьев, *Оксид азота (NO). Новый путь к поиску лекарств*, Вузовская книга, Москва, 2004, с. 139.
2. G. Berecz, J. Reiter, G. Argay, A. Kálmán, *J. Heterocycl. Chem.*, **39**, 319 (2002).
3. A. R. Dunstan, H.-P. Weber, G. Rihs, H. Widmer, E. K. Dziadulewicz, *Tetrahedron Lett.*, **39**, 7983 (1998).
4. В. М. Чернышев, В. А. Ракитов, В. А. Таранушич, В. В. Блинов, *XTC*, 1342 (2005). [*Chem. Heterocycl. Comp.*, **40**, 1139 (2005)].
5. I. Wawrzycka-Gorczyca, B. Rzeszotarska, A. Dzygiel, E. Masiukiewicz, A. E. Koziol, *Z. Kristallogr.*, **218**, 480 (2003).
6. В. В. Липсон, С. М. Десенко, В. Д. Орлов, О. В. Шишкин, М. Г. Широбокова, В. Н. Черненко, Л. И. Зиновьева, *XTC*, 1542 (2000). [*Chem. Heterocycl. Comp.*, **35**, 1329 (2000)].
7. B. Ribar, S. Stankovic, G. Argay, A. Kalman, F. Koczó, *Acta Crystallogr.*, **C43**, 1712 (1987).
8. W. Ried, G. W. Broft, J. W. Bats, *Chem. Ber.*, **116**, 1547 (1983).
9. Г. Л. Старова, О. В. Франк-Каменецкая, В. В. Макаровский, В. А. Лопырев, *Кристаллография*, **25**, 1292 (1980).
10. A. Kalman, G. Argay, *J. Mol. Struct.*, **102**, 391 (1983).
11. A. Kalman, L. Parkanyi, J. Reiter, *J. Mol. Struct.*, **118**, 293 (1984).
12. V. Padmavathi, K. V. Reddy, A. Padmaja, P. Venugopalan, *J. Org. Chem.*, **68**, 1567 (2003).
13. *Structure Correlation*, H.-B. Burgi, J. D. Dunitz (Eds.), VCH, Weinheim, 1994, vol. 2, p. 767.
14. D. Enders, C. F. Janeck, G. Raabe, *Eur. J. Org. Chem.*, 3337 (2000).
15. S. Iwamatsu, K. Matsubara, H. Nagashima, *J. Org. Chem.*, **64**, 9625 (1999).
16. G. M. Sheldrick, *SHELXTL v. 5.10, Structure Determination Software Suite*, Bruker AXS, Madison, Wisconsin, USA, 1998.

Южно-Российский государственный технический
университет, Новочеркасск 346428
e-mail: tnw@novoch.ru

Поступило 26.02.2006

^aИнститут элементоорганических соединений
им. А. Н. Несмеянова РАН, Москва 117813
e-mail: star@xray.ineos.ac.ru